



## The Effect of Different Levels of Carbon Dioxide and Ethanol Spraying on The Growth, and Physiological and Biochemical Characteristics of Basil

E. Darabi Hoseinabad Ghaeni<sup>1</sup>, M. Moghaddam\*<sup>ID</sup> and F. Arasteh

(Received: 3 June 2023; Accepted: 31 October 2023)

### Abstract

One of the research requirements in agriculture is to find a new and practical method for sustainable production that brings the highest efficiency and the least harm to humans and the environment. In order to investigate the effect of different levels of carbon dioxide and ethanol foliar spraying on the physiological and biochemical characteristics of basil (*Ocimum basilicum* cv. Keshkeni luvelou), a factorial pot experiment based on a completely randomized design with three replications was conducted in the research greenhouse of the Department of Horticultural Sciences and Landscape of Ferdowsi University Mashhad in 2018. The factors included ethanol spraying at 4 levels (0, 10, 20, and 30% v/v) and carbon dioxide at 3 levels (380, 700, and 1050  $\mu\text{mol mol}^{-1}$ ). The results showed that the highest relative water content (RWC) of leaf, photosynthesis rate, transpiration rate, stomatal conductance, and leaf protein were observed in the treatment of 20% v/v ethanol foliar application with the application of 700  $\mu\text{mol mol}^{-1}$  of carbon dioxide, as they increased by 45%, 295%, 684%, 83%, and 328% compared to the control, respectively. Fresh and dry biomasses of shoot parts increased significantly with increasing carbon dioxide concentration and ethanol spraying. Thus, the highest fresh and dry biomasses of shoot parts were obtained in foliar spraying of 30% v/v of ethanol and 700  $\mu\text{mol mol}^{-1}$  of carbon dioxide which increased by 176% and 76%, respectively, compared to the control. The highest activity of polyphenol oxidase and guaiacol peroxidase, stomatal resistance, and electrolyte leakage were related to spraying 30% v/v of ethanol with an application of 1050  $\mu\text{mol mol}^{-1}$  of carbon dioxide which showed an increase of 2%, 4%, 65%, and 76%, respectively, compared to the control. Overall, the results showed that foliar spraying of 20 and 30% v/v of ethanol along with the application of 700  $\mu\text{mol mol}^{-1}$  carbon dioxide had the greatest effect in increasing photosynthesis and finally the fresh and dry biomasses of basil.

**Keyword:** Photosynthesis, Transpiration, Electrolyte leakage, Polyphenol oxidase, Stomatal conductance.

**Background and Objective:** Basil (*Ocimum basilicum* L.) is one of the valuable plants that is widely cultivated in the warm regions of Africa, Asia, and the Mediterranean climate zone. Finding a practical method for sustainable production in agriculture that brings the highest efficiency and the minimum harm to humans and the environment is necessary. One of the effective methods of fertilization in the agricultural

1- Department of Horticultural Science and Landscape Architecture, Faculty of Agriculture, Ferdowsi University of Mashhad, Mashhad, Iran.

---

\* Corresponding author, Email: m.moghadam@um.ac.ir

system is the foliar application of fertilizers and leaf feeding, by which nutrients can be quickly provided to the aerial parts of the plant. Alcohols are passively absorbed by plant cells via simple diffusion through the membrane. In this regard and considering the positive effects of ethanol, this research aims to investigate some physiological and biochemical responses of basil cv. Keshkeni luvelou to carbon dioxide and foliar application of ethanol.

**Methods:** A pot experiment was conducted as a factorial experiment based on a completely randomized design with three replications in the research greenhouse of the Department of Horticultural Science, Faculty of Agriculture, Ferdowsi University of Mashhad in 2018. Experimental factors included ethanol foliar application at 4 levels (0, 10, 20, and 30% v/v) and carbon dioxide at 3 levels (380, 700, and 1050  $\mu\text{mol mol}^{-1}$ ). The plants were harvested at the flowering stage to evaluate some physiological and biochemical characteristics including photosynthesis rate, transpiration rate, stomatal conductance, leaf relative water content (RWC), leaf protein, electrolyte leakage, polyphenol oxidase activity, guaiacol peroxidase activity, and stomatal resistance. Minitab17 software was used to analyze the data and the mean comparison was performed based on the Bonferroni test ( $p < 0.05$ ).

**Results:** The results showed that the highest leaf RWC, photosynthesis rate, transpiration rate, stomatal conductance, and leaf protein were observed in the treatment of 20% v/v ethanol foliar application with the application of 700  $\mu\text{mol mol}^{-1}$  of carbon dioxide. In addition, the highest polyphenol oxidase and guaiacol peroxidase activities, stomatal resistance, and electrolyte leakage were obtained in the treatment of 30% v/v ethanol application with a 1050  $\mu\text{mol mol}^{-1}$  of carbon dioxide. The fresh and dry biomasses of shoot increased significantly with increasing carbon dioxide concentration and ethanol spraying. Thus, the highest fresh and dry biomasses of shoot were obtained in the foliar spraying of 30% v/v ethanol with the use of 700  $\mu\text{mol mol}^{-1}$  carbon dioxide.

**Conclusions:** In this study, the results showed that all the studied traits were affected by ethanol foliar spraying and elevated carbon dioxide. Furthermore, the results showed that foliar application of 20 and 30% v/v of ethanol with the application of 700  $\mu\text{mol mol}^{-1}$  of carbon dioxide had the most effect on the studied characteristics. Besides, the control treatment (without ethanol foliar application and carbon dioxide injection) had the least significant effect on the studied traits. Overall, the results of this research showed that foliar spraying of 20 and 30% v/v of ethanol with the application of 700  $\mu\text{mol mol}^{-1}$  carbon dioxide had the greatest effect in increasing photosynthesis rate and the fresh and dry biomass of basil plants.

#### References:

1. Khosravi, M.T., Mehrafarin, A., Naqdi Badi, H.A., Haji Aghaei, R., Khosravi, A., 2011. The effect of methanol and ethanol on the performance of *Echinacea purpura* in Karaj. *J. Med. Plant Res.* 2(2), 128–121.



# تأثیر سطوح مختلف دی اکسید کربن و محلول پاشی اتانول بر رشد و برخی ویژگی‌های فیزیولوژیک و بیوشیمیایی ریحان

عزت دارابی حسین‌آباد قاینی<sup>۱</sup>، محمد مقدم<sup>\*</sup> و فائزه آراسته

(تاریخ دریافت: ۱۴۰۲/۳/۱۳؛ تاریخ پذیرش: ۱۴۰۲/۸/۹)

## چکیده

به منظور بررسی تأثیر سطوح مختلف دی اکسید کربن و محلول پاشی اتانول بر فرایندهای فیزیولوژیک و بیوشیمیایی ریحان رقم کشکنی لولو (Ocimum basilicum cv. Keshkeni luvelou) آزمایشی گلدانی به صورت فاکتوریل در قالب طرح کاملاً تصادفی با سه تکرار در گلخانه پژوهشی گروه علوم باگبانی و مهندسی فضای سبز دانشگاه فردوسی مشهد در سال ۱۳۹۸ اجرا شد. فاکتورهای آزمایش شامل محلول پاشی اتانول در ۴ سطح (۰، ۱۰، ۲۰ و ۳۰ درصد حجمی) و دی اکسید کربن در ۳ سطح (۳۸۰، ۷۰۰ و ۱۰۵۰ میکرومول بر مول) بودند. نتایج این پژوهش نشان داد که بیشترین محتوای نسبی آب برگ، فتوستتر، تعرق، هدایت روزنای و پروتئین برگ در تیمار محلول پاشی ۲۰ درصد حجمی اتانول همراه با کاربرد ۷۰۰ میکرومول بر مول دی اکسید کربن بود که به ترتیب ۴۵، ۴۵، ۶۸۴، ۲۹۵ و ۸۳٪ درصد افزایش نسبت به تیمار شاهد داشت. جرم زیست‌توده تازه و خشک شاخساره با افزایش غلظت دی اکسید کربن و محلول پاشی اتانول افزایش معنی‌داری پیدا کردند. به طوری که بیشترین مقدار آنها در محلول پاشی ۳۰ درصد حجمی اتانول همراه با کاربرد ۷۰۰ میکرومول بر مول دی اکسید کربن به دست آمد که به ترتیب ۱۷۶ و ۷۶ درصد نسبت به تیمار شاهد افزایش داشت. بیشترین فعالیت آنزیم‌های پلی‌فلل اکسیداز، گایاکول پر اکسیداز و مقاومت روزنای و نشت الکتروولیت مربوط به محلول پاشی ۳۰ درصد حجمی اتانول همراه با کاربرد ۱۰۵۰ میکرومول بر مول دی اکسید کربن بود که به ترتیب ۲، ۴، ۶۵ و ۷۶ درصد نسبت به تیمار شاهد افزایش نشان داد. در کل نتایج این پژوهش نشان داد محلول پاشی ۲۰ و ۳۰ درصد حجمی اتانول همراه با کاربرد ۷۰۰ میکرومول بر مول دی اکسید کربن بیشترین تأثیر را در افزایش فتوستتر و در نهایت زیست‌توده تازه و خشک گیاه ریحان داشت.

واژه‌های کلیدی: فتوستتر، تعرق، پلی‌فلل اکسیداز، نشت الکتروولیت، هدایت روزنای.

## مقدمه

کشت می‌شود. یکی از روش‌های مؤثر کوددهی در نظام کشاورزی، محلول پاشی کودها و تغذیه برگی است که توسط آن می‌توان عناصر غذایی را در اسرع وقت در اختیار شاخساره

ریحان (Ocimum basilicum L.) یکی از گیاهان ارزشمندی است که به طور گسترده در مناطق گرم آفریقا، آسیا و مدیترانه

۱- گروه علوم باگبانی و مهندسی فضای سبز، دانشکده کشاورزی، دانشگاه فردوسی مشهد، مشهد، ایران

\* مسئول مکاتبات، پست الکترونیکی: m.moghadam@um.ac.ir

باعت افزایش عملکرد نعناعفلفلی شد (Nurafkan et al., 2018). براساس نتایج پژوهشی که در سال ۲۰۲۳ انجام شده است، افزایش دی اکسید کربن باعت رشد برگ‌های کاهو، Song et al., (2023) افزایش کارایی فتوستزی و بهبود کیفیت آن شد (Kirnakak et al., 2001). افزایش غلظت دی اکسید کربن سبب توسعه اندام‌ها و تأثیر مثبت بر عملکرد و کیفیت بادمجان شد (Khosravi et al. (2011) ۲۰۰۱). افزایش گزارش کردن محلول‌پاشی مтанول (۵۰-۱۰ درصد حجمی) رشد و عملکرد گیاه بادام زمینی را با توجه به کاهش سرعت تنفس نوری افزایش داد و همین طور باعت آماس سلول‌ها شد. تشکیل کلروفیل در حضور نور نیازمند هورمون سیتوکینین است. از آنجایی که محلول‌پاشی با الكل‌ها باعت افزایش سیتوکینین گیاه می‌شود، می‌تواند باعت افزایش کلروفیل در گیاه شود (Moghaddam et al., 2014). تاکنون پژوهش‌های زیادی در مورد تأثیر مثبت دی اکسید کربن بر رشد و عملکرد محصولات مختلف انجام شده است. اتانول به عنوان یک ماده طبیعی در تغذیه کربنی برای افزایش فتوستزه و پژوهش زمانی که محدودیت دی اکسید کربن در هوا وجود دارد می‌تواند مطرح باشد. بنابراین هدف از انجام پژوهش حاضر ارزیابی زیست‌توده تازه و خشک شاخصاره، و ویژگی‌های بیوشیمیایی و فیزیولوژیک ریحان تحت تأثیر برهم‌کنش غلظت‌های مختلف دی اکسید کربن و محلول‌پاشی اتانول و تعیین بهترین غلظت‌ها و سطح سمیت تیمارها بود.

## مواد و روش‌ها

به منظور بررسی اثر برهم‌کنش دی اکسید کربن و محلول‌پاشی اتانول بر زیست‌توده تازه و خشک شاخصاره، ویژگی‌های فیزیولوژیک و بیوشیمیایی ریحان رقم کشکنی لولو (*Ocimum basilicum* cv. keshkeni luvelou) آزمایشی گلستانی در طول بهار و تابستان سال ۱۳۹۸ در گلخانه پژوهشی گروه علوم باگبانی و مهندسی فضای سبز دانشکده کشاورزی دانشگاه فردوسی مشهد (واقع در عرض جغرافیایی ۳۶ درجه و ۱۸ دقیقه شمالی و طول جغرافیایی ۵۹ درجه و ۳۱ دقیقه شرقی و

گیاه قرار داد. الكل‌ها به صورت غیرفعال و به وسیله انتشار ساده از غشاء سلولی عبور کرده و جذب سلول‌های گیاه می‌شوند (Khosravi et al., 2011) تغذیه از طریق برگ و یا به عبارتی محلول‌پاشی یکی از روش‌های رساندن مواد غذایی و عناصر مورد نیاز به گیاهان است که به علت سرعت جذب از راه شاخساره می‌توان در کوتاه‌ترین زمان به نتیجه رسید و نیاز غذایی گیاهان را تأمین نمود. چون محلول‌پاشی با الكل‌ها (به ویژه اتانول و مтанول) به عنوان یکی از راهکارهای مناسب در افزایش عملکرد کمی و کیفی گیاهان به حساب می‌آید، دارای جایگاه ویژه‌ای در کشاورزی پایدار و حفظ منابع طبیعی و همین‌طور بقای آن برای نسل‌های آینده است. اتانول یکی از ساده‌ترین فرآورده‌های گیاهی است که توسط بیشتر گیاهان به ویژه در طول مراحل اولیه رشد برگ‌ها تحت تأثیر دمتیلاسیون پکتین، تولید می‌شود و با ماهیت یک ترکیب فرار به سرعت از طریق روزندهای برگ به محیط خارج انتشار می‌یابد (Bradford, 1996). اتانول و مtanول به علت دارا بودن مولکول‌های کوچک‌تر از دی اکسید کربن به سهولت با انتشار ساده بدون صرف انرژی، از غشاء سلول گیاهی عبور کرده و جذب سلول می‌گردد و در نتیجه سبب افزایش ماده خشک گیاه می‌شوند (Asgari and Moeinfard, 2014). پژوهش‌ها ثابت کرده است که اتانول در بافت گیاهی به فرم الدهید و سرانجام به دی اکسید کربن تبدیل می‌شود. افزایش غلظت دی اکسید کربن داخلی باعت افزایش عملکرد فتوستزی گیاه می‌شود (Khosravi, 2011). پژوهش‌ها آثار مستقیم و غیرمستقیم افزایش غلظت دی اکسید کربن را بر ذرت (گیاه چهارکربنی) مثبت و مفید ارزیابی نموده و نشان دادند که افزایش غلظت دی اکسید کربن موجب افزایش عملکرد ذرت در حدود ۲۲ درصد می‌گردد (Jones et al., 1984). علاوه بر این استفاده از ترکیبات الكلی به عنوان یک محرك زیستی عمل کرده و باعت افزایش رشد و عملکرد گیاه می‌شود (Benson and Nonomun, 1994). پژوهش‌های انجام‌شده در این راستا نشان داده است که محلول‌پاشی با اتانول به ویژه در غلظت‌های ۱۰ و ۲۰ درصد

انتقال داده شدند. اولین محلول پاشی با اتانول در مرحله ۸ برگی و محلول پاشی های دیگر با فاصله یک هفته از هم و به مدت یک ماه انجام شدند. ارزیابی و اندازه گیری صفات در مرحله تمام گل صورت گرفت.

### زیست توده تازه و خشک ریشه و شاخساره

برای تعیین وزن زیست توده تازه و خشک برگ، ساقه و ریشه از ترازویی با دقت ۰/۱ گرم استفاده شد. برای تعیین وزن خشک، بوته ها به مدت ۴۸ ساعت درون آون با دمای ۷۵ درجه سلسیوس قرار گرفتند و سپس وزن آنها اندازه گیری شد.

### محتوای نسبی آب برگ

برای اندازه گیری محتوای نسبی آب برگ (RWC) نمونه هایی از برگ کامل تهیه شده و وزن تازه نمونه برگ (FW) آنها اندازه گیری شد. این قطعات به منظور تعیین وزن آماس به مدت ۲۴ ساعت در دمای اتاق، در آب مقطر به حالت غوطه ور قرار داده شد و پس از این زمان وزن آماس نمونه (TW) ثبت گردید. سپس نمونه ها به مدت ۴۸ ساعت درون آون با دمای ۷۵ درجه سلسیوس قرار گرفت و وزن خشک (DW) آنها به دست Sanchez آمد. در نهایت RWC برگ با فرمول زیر محاسبه شد (et al., 1998):

$$RWC (\%) = [(FW - DW) / (TW - DW)] \times 100 \quad (1)$$

### نشت الکترولیت

برای اندازه گیری نشت الکترولیت از روش Luts et al (Li et al. 1995) استفاده شد. برای این منظور نمونه های برگ به ابعاد ۲ سانتی متر با آب بدون یون شسته شده، به شیشه های ۵۰ میلی لیتری درب دار محتوای ۱۰ میلی لیتر آب مقطر منتقل شده و به مدت ۲۴ ساعت در تاریکی و دمای اتاق نگهداری شدند. سپس میزان رسانایی الکتریکی آنها به عنوان نشت اولیه (EC<sub>1</sub>) به وسیله دستگاه رسانایی سنج (EC متر) اندازه گیری شد. نشت ثانویه (EC<sub>2</sub>) نیز با اندازه گیری میزان رسانایی الکتریکی نمونه ها

ارتفاع ۹۸۵ متری از سطح دریا) در شرایط کنترل شده اجرا شد. میانگین دمای روز و شب گلخانه در مدت انجام آزمایش به ترتیب  $3 \pm 3$  و  $22 \pm 3$  درجه سلسیوس و رطوبت نسبی ۷۵ درصد بود. آزمایش به صورت فاکتوریل در قالب طرح کاملاً تصادفی با ۲ فاکتور و در ۳ تکرار انجام شد. فاکتور اول دی اکسید کربن در سه غلظت (۳۸۰، ۷۰۰ و ۱۰۵۰ میکرومول بر مول) و فاکتور دوم محلول پاشی اتانول در چهار سطح (۰، ۱۰، ۲۰ و ۳۰ درصد حجمی معادل ۰، ۱۰۰، ۲۰۰ و ۳۰۰ میلی لیتر اتانول در ۱۰۰۰ میلی لیتر آب) بود. ابتدا بذر های ریحان در سینی های کاشت حاوی کوکوپیت کشت شدند. بذر ریحان به منظور جوانه زنی به دمایی در حدود ۱۸ تا ۲۰ درجه سلسیوس نیاز دارد. سپس نشاء ها در مرحله چهار برگی به گلدان های هماندازه با قطر دهانه ۳۰ و ارتفاع ۴۰ سانتی متر انتقال داده شدند. در هر گلدان ۴ نشاء ریحان کاشته شد. ترکیب خاک گلدان ها شامل خاک با غچه، خاک برگ، ماسه به نسبت حجمی ۱:۱:۱ بود. بافت خاک لوم شنی (رس ۸/۵ درصد، سیلت ۱۹/۳ درصد، شن ۷۲/۱ درصد)، ماده آلی خاک ۱/۴ درصد، رسانایی الکتریکی آن برابر ۱/۵ دسی زیمنس بر متر و pH برابر ۷/۷ بود. برای اعمال تیمار دی اکسید کربن از دو محفظه استفاده شد که یکی برای غلظت ۷۰۰ میکرومول بر مول و دیگری برای غلظت ۱۰۵۰ میکرومول بر مول دی اکسید کربن به کار رفت. محفظه ها به طول ۲ متر، عرض ۱/۵ متر و ارتفاع ۲ متر استفاده شد که با پلاستیک کاملاً شفاف (چادرها) پوشانده شده بود و دارای سیستمی کاملاً خودکار برای تنظیم غلظت گاز دی اکسید کربن بودند. بدین صورت که یک فتوسل برنامه روشن و خاموش شدن دستگاه را به ترتیب در روز و شب اجرا می کرد. تزریق گاز با استفاده از کپسول های ۵۰ کیلوگرمی دی اکسید کربن و شیرهای برقی و تایمرهایی که در مسیر قرار داده شده بودند، صورت گرفت. با استفاده از یک حسگر دی اکسید کربن قابل حمل، اندازه گیری غلظت دی اکسید کربن در طول روز انجام می شد. گیاهان در مرحله ۶ برگی به منظور اعمال سطوح مختلف دی اکسید کربن به درون چادرهای مختلف

### مالون دی‌آلدئید

میزان آسیب به غشاء‌ها با اندازه‌گیری مقدار مالون دی‌آلدئید (MDA) به عنوان فراورده نهایی پراکسیداسیون لپیدهای غشاء تعیین شد. به منظور اندازه‌گیری MDA میزان ۰/۲۵ گرم از نمونه تازه گیاهی را در نیتروژن مایع پودر کرده، و سپس با ۵۰۰ میلی‌لیتر بافر فسفات ۵۰ میلی‌مولار با pH=۷ مخلوط شد. نمونه‌ها به مدت ۱۵ دقیقه با ۱۳۰۰۰ دور در دقیقه، در دمای ۴ درجه سلسیوس سانتریفیوژ شد. سپس ۱۵۰ میکرولیتر از محلول فرقانی برداشته شد و به آن ۳۰۰ میکرولیتر تری‌کلرواستیک (TCA) ۲۰ درصد افزوده شد. برای تهیه محلول تری‌کلرواستیک ۲۰ درصد که حاوی اسید تری‌تیوباریتیوریک و (TBA) ۰/۵ درصد بود، ۵ گرم اسید تیوباریتیوریک و ۲۰۰ گرم اسید تری‌کلرواستیک را در ۷۰۰ میلی‌لیتر آب مقطر مخلوط نموده و یک شب در یخچال با دمای ۴ درجه سلسیوس نگهداشته و روز بعد با افزودن آب مقطر محلول به حجم ۱ لیتر رسانده شد. مخلوط به مدت ۳۰ دقیقه در حمام آب گرم با دمای ۹۵ درجه سلسیوس قرار داده شد و بلافلصله در حمام یخ سرد گذاشته شد. سپس نمونه‌ها مجدد به مدت ۵ دقیقه با شدت ۱۰۰۰۰ دور در دقیقه در دمای محیط سانتریفیوژ شد. ماده قرمز رنگ مالون دی‌آلدئید تیوباریتیوریک اسید حاصل شده و جذب نوری آن در دو طول موج ۵۳۲ و ۶۰۰ نانومتر قرائت شد. برای تعیین غلظت مالون دی‌آلدئید از فرمول زیر با ضریب خاموشی ۱۵۵ میلی‌مولار بر سانتی‌متر استفاده شد (Davy et al., 2005)

$$MDA = (A532 - A600/155) \times 1000 \quad (۳)$$

که در آن A600 و A532 اعداد قرائت شده در طول موج‌های مذکور با دستگاه اسپکتروفوتومتر است.

### پروتئین کل

برای سنجش میزان پروتئین کل در گیاه، به لوله‌های آزمایش ۵ میلی‌لیتر معرف بیوره و سپس ۱۰۰ میکرولیتر عصاره پروتئینی افزوده شده و به سرعت هم زده شد. پس از گذشت ۵ دقیقه

پس از گرمادهی درون اتوکلاو به مدت ۲۰ دقیقه در دمای ۱۲۱ درجه سلسیوس (به منظور کشته شدن سلول‌های گیاهی) بررسی شد. در نهایت نشت ثانویه (EC<sub>2</sub>) پس از سرد شدن محتويات درون لوله‌های آزمایش تعیین شد. در نهایت شاخص پایداری Sajedidi Moghaddam (EL) با معادله زیر محاسبه شد (et al., 2012

$$EL = (EC_1/EC_2) \times 100 \quad (۴)$$

### تهیه عصاره متانولی

۰/۵ گرم برگ تازه از برگ‌های جوان کاملاً توسعه یافته جدا شده و در هاون چینی با ۵ میلی‌لیتر متانول ۹۹ درصد عصاره-گیری شد. سپس به مدت ۵ دقیقه سانتریفیوژ با سرعت ۴۵۰۰ دور در دقیقه انجام گرفت. آنگاه برای اندازه‌گیری صفات بیوشیمیایی، قسمت شفاف و فرقانی عصاره جدا شد (نمونه‌ها از برگ‌های موجود در گره‌های ۴ و ۵ گرفته شدند).

### هدایت و مقاومت روزنه‌ای

اندازه‌گیری میزان هدایت و مقاومت روزنه‌ای برگ با استفاده از دستگاه پرومتر دستی مدل (SC-1 Leaf Prometer) انجام شد. برای این منظور از جوانترین برگ‌های کاملاً توسعه یافته استفاده شد.

### کربوهیدرات محلول

برای اندازه‌گیری کربوهیدرات‌های محلول، ۰/۲ میلی‌لیتر از عصاره متانولی با ۳ میلی‌لیتر معرف آنtron (۰/۱۵ گرم در ۱۰۰ میلی‌لیتر اسید سولفوریک ۷۲ درصد) مخلوط شد. مخلوط فوق به مدت ۲۰ دقیقه درون حمام آب گرم با دمای ۱۰۰ درجه سلسیوس به منظور انجام واکنش قرار گرفت. سپس میزان جذب نور پس از سرد شدن نمونه‌ها توسط دستگاه اسپکتروفوتومتر در طول موج ۶۲۰ نانومتر اندازه‌گیری شد (Sadasivam et al., 1992).

اکسیداسیون گایاکول در طول موج ۴۷۰ نانومتر به مدت ۳ دقیقه اندازه‌گیری شد. مقدار تراگایاکول تولیدشده با استفاده از ضرب خاموشی  $25/5 \text{ cm}^{-1} \text{ mM}^{-1}$  محاسبه شد (Plewa et al., 1991).

### پلی‌فلن اکسیداز (PPO)

برای اندازه‌گیری فعالیت آنزیم پلی‌فلن اکسیداز از پیروگالل به عنوان پیش‌ماده آنزیم استفاده شد. مخلوط واکنش شامل ۲/۵ میلی‌لیتر بافر فسفات پتاسیم ۵۰ میلی‌مولار ( $\text{pH}=7$ ), ۲۰۰ میکرولیتر پیروگالل ۰/۰۲ مولار و ۱۰۰ میکرولیتر عصاره آنزیمی بود. جذب نمونه‌ها در طول موج ۴۲۰ نانومتر و پس از سه دقیقه در دستگاه اسپکتروفوتومتر خوانده شد. برای محاسبه واحد آنزیمی از ضرب خاموشی معادل  $6/2 \text{ cm}^{-1} \text{ mM}^{-1}$  استفاده شد (Kar and Mishra, 1976).

### تجزیه و تحلیل داده‌های آماری

برای تجزیه و تحلیل داده‌ها از نرم‌افزار Minitab 17 استفاده شد. مقایسه میانگین داده‌ها از طریق آزمون Bonferroni در سطح احتمال ۵ درصد تعیین شد. همچنین برای رسم نمودارها از نرم‌افزار MS Excel استفاده شد.

### نتایج و بحث

#### محتوای نسبی آب برگ

نتایج حاصل از تجزیه واریانس داده‌ها نشان داد که برهم‌کنش دی اکسید کرbin و محلول پاشی اتانول در سطح احتمال یک درصد بر محتوای نسبی آب (RWC) برگ ریحان معنی‌دار شد (جدول ۱). بیشترین مقدار RWC برگ (۹۲/۹ درصد) در تیمار ۷۰۰ میکرومول بر مول دی اکسید کرbin و محلول پاشی اتانول ۲۰ درصد حجمی بود مشاهده شد که به لحاظ آماری با تیمارهای عدم محلول پاشی اتانول و دیگر سطوح محلول پاشی اتانول در همین غلظت دی اکسید کرbin و عدم محلول پاشی اتانول و تیمار ۱۰۵۰ میکرومول بر مول دی اکسید کرbin و همچنین محلول پاشی اتانول ۲۰ و ۳۰ درصد حجمی و تیمار

جذب آن در طول موج ۵۹۵ نانومتر با دستگاه اسپکتروفوتومتر خوانده شد. در نهایت غلظت پروتئین با استفاده از منحنی واسنجی آلبومین محاسبه شد (Bradford, 1976).

### چگونگی تهیه معرف بیوره

۱۰ گرم کوماسی بریلیانت بلو ۲۵۰ G در ۵۰ میلی‌لیتر اتانول ۹۶ درصد ریخته شد و با همزن الکتریکی بهم زده تا حل شد و یک ساعت بعد ۱۰۰ میلی‌لیتر ارتوفسفریک اسید ۸۵ درصد به آن قطره قطره افزوده شد و حجم نهایی محلول با استفاده از آب مقطر استریل شده به حجم ۱۰۰۰ میلی‌لیتر رسانده شد. این محلول از کاغذ صافی وات‌من شماره ۱ عبور داده شد. محلول حاضر در دمای ۴ درجه سلسیوس تا ۲۴ ساعت قابل نگهداری است.

### تهیه عصاره پروتئینی

برای سنجش میزان پروتئین و فعالیت آنزیم‌های مختلف نیاز است که از نمونه گیاهی عصاره پروتئینی تهیه شود. بدین صورت که ۰/۵ گرم از نمونه تازه گیاهی در ۵ میلی‌لیتر بافر فسفات پتاسیم ۵۰ میلی‌مولار حاوی پلی‌وینیل پیرولیدین (PVP) یک درصد و EDTA یک میلی‌مولار سائیده و عصاره‌گیری انجام شد (قابل ذکر است که تمامی مراحل فوق در مجاورت یخ انجام شد). سپس عصاره‌ها به مدت ۲۰ دقیقه در دمای ۴ درجه سلسیوس با ۵۰۰۰ دور در دقیقه سانتریفیوز شدند. محلول شفاف رویی برای سنجش آنزیم‌ها و پروتئین کل مورد استفاده قرار گرفت (Gapinska et al., 2008).

### گایاکول پراکسیداز (GPX)

فعالیت آنزیم گایاکول پراکسیداز با استفاده از پیش‌ماده گایاکول اندازه‌گیری شد. در این روش ۳ میلی‌لیتر مخلوط واکنش شامل ۲/۷۷ میلی‌لیتر بافر فسفات پتاسیم ۵۰ میلی‌مولار ( $\text{pH}=7$ ), ۱۰۰ میکرولیتر آب اکسیژنه یک درصد، ۱۰۰ میکرولیتر گایاکول ۲ درصد و ۳۰ میکرولیتر عصاره آنزیمی بود. افزایش جذب به دلیل

جدول ۱. تجزیه واریانس صفات رشدی، فیزیولوژیک و بیوشیمیای ریحان رقم کشکنی اولر تحت تأثیر یمارهای دی‌اسید کربن و محلول پاشی انانول  
Table 1. Variance analysis of growth, physiological and biochemical traits in basil cultivar of Keshkeni luelou as affected by carbon dioxide and ethanol spraying treatments

| Dry shoot biomass | Fresh shoot biomass | Flavonoid | Soluble carbohydrates    | Electrolyte leakage | Leaf relative water content | Degree of freedom | درجه آزادی | محتوای نسبی آب برگ    | نتیجت کلروپلت            |
|-------------------|---------------------|-----------|--------------------------|---------------------|-----------------------------|-------------------|------------|-----------------------|--------------------------|
| 6.51**            | 3236.05**           | 0.18**    | 0.00000075**             | 18.71**             | 70.38**                     | 2                 |            | دی‌اسید کربن          |                          |
| 10.90**           | 297.95**            | 0.0062**  | 0.00000061**             | 4.54**              | 191.47**                    | 3                 |            | Carbon dioxide        |                          |
| 3.98**            | 154.54**            | 0.026**   | 0.00000043 <sup>ns</sup> | 16.49**             | 208.61**                    | 6                 |            | دی‌اسید کربن × اتانول |                          |
| 0.76              | 29.6                | 0.0005    | 0.000000032              | 0.97                | 4.5                         | 24                |            | Ethanol               |                          |
|                   |                     |           |                          |                     |                             |                   |            |                       | Ethanol × Carbon dioxide |
|                   |                     |           |                          |                     |                             |                   |            |                       | خطا                      |
|                   |                     |           |                          |                     |                             |                   |            |                       | Eror                     |

\*، \*\* به ترتیب اثر معنی دار در سطح احتمال ۱ درصد و بدون اثر معنی دار

\*\*، ns stand for significant effect at the 1% probability level and without significant effect, respectively

مول) و عدم محلول‌پاشی اتانول مشاهده شد که به لحاظ آماری با محلول‌پاشی دیگر سطوح اتانول در همین غلظت دی‌اکسید کربن و همچنین محلول‌پاشی اتانول ۱۰ و ۳۰ درصد حجمی همراه با ۷۰ میکرومول بر مول دی‌اکسید کربن اختلاف معنی‌داری نداشت (جدول ۲). نشت الکتروولیت یک شاخص پایداری غشاء است، چون در هنگام تنش گونه‌های فعال اکسیژن افزایش یافته و باعث پراکسیداسیون لبیدی و کاهاش پایداری غشاء می‌شوند و در نتیجه مواد سیتوپلاسمی از آن به بیرون نشت کرده و رسانایی الکتریکی را افزایش می‌دهد (Manchanda et al., 2008). نشت الکتروولیت شاخصی از میزان مقاومت گیاه بوده که تحت شرایط تنش افزایش می‌یابد (Kirnakak et al., 2001) و بیان‌گر میزان خسارت به غشاء پلasmایی است. شرایط تنش منجر به آسیب‌دیدگی غشاء سلولی و افزایش میزان نشت الکتروولیت می‌گردد (Chaum et al., 2010). غلظت‌های زیاد دی‌اکسید کربن در توت‌فرنگی باعث پارگی سلول و افزایش میزان نشت الکتروولیت شد (Roger et al., 2008). در پژوهش حاضر نیز سطوح بالای دی‌اکسید کربن و اتانول موجب ایجاد تنش اکسیداتیو و افزایش میزان نشت الکتروولیت شد که با نتایج (Ruger et al. 2008) هم خوانی دارد.

### شدت فتوسترن

بررسی نتایج تجزیه واریانس داده‌ها نشان داد که اثر برهم‌کنش دی‌اکسید کربن و محلول‌پاشی اتانول در سطح احتمال یک درصد بر میزان فتوسترن برگ ریحان معنی‌دار شد (جدول ۳). بیشترین شدت فتوسترن (۶/۶۸ میکرومول بر مترمربع بر ثانیه) در غلظت ۷۰۰ میکرومول بر مول دی‌اکسید کربن و محلول‌پاشی اتانول ۲۰ درصد حجمی مشاهده شد که به لحاظ آماری با محلول‌پاشی اتانول ۱۰ درصد حجمی در همین غلظت دی‌اکسید کربن تفاوت معنی‌داری نداشت. کمترین شدت فتوسترن (۱/۶۹ میکرومول بر مترمربع بر ثانیه) در غلظت ۳۸۰ میکرومول بر مول دی‌اکسید کربن و عدم محلول‌پاشی اتانول

۳۸۰ میکرومول بر مول دی‌اکسید کربن اختلاف معنی‌داری نداشت. کمترین میزان RWC (۶۳/۹ درصد) در غلظت ۱۰۵۰ میکرومول بر مول دی‌اکسید کربن و محلول‌پاشی ۳۰ درصد حجمی اتانول مشاهده شد (جدول ۲). در تیمار ۷۰۰ میکرومول بر مول دی‌اکسید کربن و محلول‌پاشی اتانول ۲۰ درصد حجمی، شرایط برای رشد گیاه بهبود یافته و RWC افزایش می‌یابد که نشان‌دهنده شرایط مطلوب برای گیاه است. اما به نظر می‌رسد محلول‌پاشی اتانول در ۳۰ درصد حجمی و تیمار ۱۰۵۰ میکرومول بر مول دی‌اکسید کربن شرایط تشیی را برای گیاه ایجاد می‌کند که منجر به کاهاش RWC در ریحان شد. محتوای نسبی آب برگ نشان‌دهنده میزان آب موجود در اندام‌های گیاه یا بیان‌کننده شادابی آن بوده و توان یک گیاه در حفظ آب تحت شرایط تنش را مشخص می‌نماید. بنابراین در شرایط کترل شده و یکسان در یک آزمایش، مقدار اندازه‌گیری شده این صفت بیان‌گر پاسخ یک گیاه بوده و هر چه این مقدار بیشتر باشد توانایی حفظ آب در گیاه بیشتر می‌شود. افزایش غلظت دی‌اکسید کربن موجب بسته‌شدن جزئی روزنه‌ها می‌شود. کاهاش هدایت روزنه‌ای باعث کاهاش تعرق در واحد سطح برگ می‌شود. کاهاش در سرعت از دست دادن آب برگ می‌تواند به دلیل کاهاش تعرق و کاهاش نیاز آبی در شرایط افزایش غلظت دی‌اکسید کربن باشد و در نتیجه افزایش محتوای نسبی آب برگ می‌شود (Heins, 1980; Abbaszadeh et al., 2008; Monajem, 2011).

### نشت الکتروولیت

بررسی نتایج تجزیه واریانس داده‌ها نشان داد که اثر برهم‌کنش دی‌اکسید کربن و محلول‌پاشی اتانول در سطح احتمال ۱ درصد بر نشت الکتروولیت برگ ریحان معنی‌دار شد (جدول ۱). بیشترین نشت الکتروولیت آب برگ (۱۶/۰۵ درصد) در تیمار ۱۰۵۰ میکرومول بر مول دی‌اکسید کربن و محلول‌پاشی ۳۰ درصد حجمی اتانول و کمترین میزان آن (۹/۰۹ درصد) در تیمار شاهد عدم کاربرد دی‌اکسید کربن (غلظت ۳۸۰ میکرومول بر

**جدول ۲.** مقایسه میانگین اثر برهم کنش دی‌اکسید کربن و محلول پاشی اتانول بر ویژگی‌های فیزیولوژیک ریحان رقم کشکنی لولو

|                    |                     | زیست‌توده نازه شاخصاره  | زیست‌توده خشک شاخصاره | فلاونوئید                   | نیست الکترولیت | محترای سببی آب برگ | اتanol | Carbon dioxide | Carbon dioxide<br>میکرومول بر مول) |
|--------------------|---------------------|-------------------------|-----------------------|-----------------------------|----------------|--------------------|--------|----------------|------------------------------------|
| Dry shoot biomass  | Fresh shoot biomass | Flavonoid               | Electrolyte leakage   | Leaf relative water content | Ethanol        | (%)                | (%)    | (%)            | (%)                                |
| (g/plant)          | (g/plant)           | (mg g <sup>-1</sup> FW) | (%)                   | (%)                         | (%)            | (%)                | (%)    | (%)            | (%)                                |
| 5.30 <sup>d</sup>  | 28.21 <sup>e</sup>  | 0.47 <sup>f</sup>       | 9.09 <sup>d</sup>     | 83.8 <sup>c</sup>           | 0              | 0                  | 0      | 0              | 0                                  |
| 6.17 <sup>bd</sup> | 35.60 <sup>de</sup> | 0.53 <sup>ef</sup>      | 10.29 <sup>cd</sup>   | 82.1 <sup>c</sup>           | 10             | 380                | 10     | 10             | 380                                |
| 6.70 <sup>c</sup>  | 37.90 <sup>de</sup> | 0.58 <sup>de</sup>      | 10.24 <sup>cd</sup>   | 88.3 <sup>ac</sup>          | 20             | 700                | 20     | 20             | 700                                |
| 7.76 <sup>ad</sup> | 42.60 <sup>ce</sup> | 0.64 <sup>cd</sup>      | 10.82 <sup>cd</sup>   | 90.8 <sup>ab</sup>          | 30             | 700                | 30     | 30             | 700                                |
| 8.69 <sup>ac</sup> | 56.03 <sup>bc</sup> | 0.66 <sup>c</sup>       | 12.05 <sup>ad</sup>   | 87.1 <sup>ac</sup>          | 0              | 0                  | 0      | 0              | 0                                  |
| 9.16 <sup>a</sup>  | 63.56 <sup>ab</sup> | 0.73 <sup>b</sup>       | 10.98 <sup>cd</sup>   | 90.9 <sup>ab</sup>          | 10             | 700                | 10     | 10             | 700                                |
| 9.20 <sup>a</sup>  | 77.01 <sup>a</sup>  | 0.92 <sup>a</sup>       | 12.92 <sup>bc</sup>   | 92.9 <sup>a</sup>           | 20             | 700                | 20     | 20             | 700                                |
| 9.33 <sup>a</sup>  | 78.00 <sup>a</sup>  | 0.51 <sup>ef</sup>      | 11.87 <sup>cd</sup>   | 91.4 <sup>a</sup>           | 30             | 700                | 30     | 30             | 700                                |
| 6.30 <sup>bd</sup> | 50.75 <sup>bd</sup> | 0.53 <sup>ef</sup>      | 12.45 <sup>c</sup>    | 87.8 <sup>ac</sup>          | 0              | 0                  | 0      | 0              | 0                                  |
| 6.56 <sup>cd</sup> | 50.98 <sup>bd</sup> | 0.54 <sup>ef</sup>      | 12.41 <sup>c</sup>    | 84.9 <sup>bc</sup>          | 10             | 700                | 10     | 10             | 700                                |
| 7.63 <sup>ad</sup> | 56.05 <sup>bc</sup> | 0.56 <sup>e</sup>       | 13.23 <sup>ac</sup>   | 83.8 <sup>c</sup>           | 20             | 700                | 20     | 20             | 700                                |
| 8.90 <sup>ab</sup> | 66.20 <sup>ab</sup> | 0.58 <sup>de</sup>      | 16.05 <sup>a</sup>    | 63.9 <sup>d</sup>           | 30             | 700                | 30     | 30             | 700                                |

در هر سوتون، اعداد دارای حداقل بیک حرف مشابه تفاوت معنی‌داری براساس آزمون بونفرونی در سطح احتمال ۵ درصد ندارند.

In each column, the numbers with at least one similar letter are not significantly different based on the Bonferroni test at the 5% probability level.

**جدول ۳.** تجزیه و اریاسس صفات فیزیولوژیک و بیوشیمیای در گیاه ریحان رقم کشکنی لولو تحت تأثیر تیمارهای دی اکسید کربن و محلول پاشی تا تأثیر

| پیروتین         | گایاکول             | پلی فنل            | هایات               | شدت تحرق            | درجه آزادی               | تیمار                  |
|-----------------|---------------------|--------------------|---------------------|---------------------|--------------------------|------------------------|
| محول            | مکسیداز             | اسکسیداز           | روزنگار             | شدت فتوسنتز         | Degree of freedom        | Treatment              |
| Soluble protein | Guaiacol peroxidase | Polyphenol oxidase | Stomatal resistance | Photosynthesis rate |                          |                        |
| 0.000001**      | 0.001631**          | 0.00000081**       | 0.000006**          | 10.99**             | 4.42**                   | 6.13**                 |
| 0.000005*       | 0.021608**          | 0.00000063**       | 0.000004**          | 111.26              | 2.14**                   | 7.71**                 |
| 0.000004*       | 0.041246**          | 0.00000075**       | 0.000007**          | 2206.13**           | 6.95**                   | 3.55**                 |
| 0.0000007       | 0.010437            | 0.0000007          | 0.000006            | 23.8                | 0.24                     | 0.05                   |
|                 |                     |                    |                     |                     | 9.03**                   | 2                      |
|                 |                     |                    |                     |                     | 0.08                     | 24                     |
|                 |                     |                    |                     |                     | Ethanol                  | خطا                    |
|                 |                     |                    |                     |                     | Ethanol × Carbon dioxide | دی اکسید کربن × اتانول |
|                 |                     |                    |                     |                     | Carbon dioxide           | دی اکسید کربن          |

\* and \*\*, ns stand for significant effect at the 5 and 1% probability levels and without significant effect, respectively

9v

### فلاونوئید

بررسی نتایج تجزیه واریانس داده‌ها نشان داد که اثر برهم‌کنش دی‌اکسید کربن و محلول‌پاشی اتانول در سطح احتمال یک درصد بر مقدار فلاونوئید برگ ریحان معنی دار شد (جدول ۱). نتایج مقایسه میانگین داده‌ها نشان داد که بیشترین میزان فلاونوئید ( $0/۹۲\text{ میلی‌گرم در گرم وزن تازه برگ}$ ) در تیمار  $۷۰۰$  میکرومول بر مول دی‌اکسید کربن و محلول‌پاشی اتانول  $۲۰$  درصد حجمی مشاهده شد (جدول ۲). کمترین میزان فلاونوئید ( $۰/۴۷\text{ میلی‌گرم در گرم وزن تازه برگ}$ ) در تیمار شاهد (عدم کاربرد دی‌اکسید کربن و محلول‌پاشی اتانول) دیده شد (جدول ۲). بیشترین شدت فتوستتر در سطح  $۷۰۰$  میکرومول بر مول دی‌اکسید کربن و محلول‌پاشی اتانول  $۲۰$  درصد حجمی به دست آمد و بیشترین میزان فلاونوئید نیز در این تیمار مشاهده شد که نشان‌دهنده تولید زیاد این متابولیت‌های ثانویه با افزایش فتوستتر است. دی‌اکسید کربن منبع اصلی کربن در گیاه محسوب شده و به طور عمده در ستر متابولیت‌های اولیه و ثانویه در طی عمل فتوستتر مصرف می‌شود؛ بنابراین افزایش میزان آن می‌تواند باعث رشد گیاه شود و تولید محصولات فرعی فرایند فتوستتر نیز در این شرایط افزایش می‌یابد (Mirseyyed Hosseini et al., 2018).

بزرگی از ترکیبات فنلی موجود در گیاهان را تشکیل می‌دهند که توسط جاروب کردن رادیکال‌های آزاد و یا سازوکارهای مانند خاموش کردن اکسیژن منفرد از اکسیداسیون لیپیدها جلوگیری می‌کنند (Xu et al., 2015). با ایجاد تنفس اکسیداتیو در گیاه، مسیر فنیل پروپانوئیدها و به‌ویژه مسیر بیوسترز فلاونوئیدها افزایش می‌یابد (Mackernes et al., 2001).

در پژوهش حاضر با افزایش غلظت دی‌اکسید کربن و محلول‌پاشی اتانول، ستر فلاونوئیدها افزایش یافت؛ اما با افزایش بیش از حد آن‌ها و کاهش فتوستتر مقدار آن‌ها کاهش یافت.

### زیست‌توده تازه و خشک شاخساره

بیشترین زیست‌توده تازه شاخساره ( $78\text{ گرم در بوته}$ ، مربوط

دیده شد (جدول ۴). پژوهش‌ها نشان داده است اتانول پس از نفوذ به درون بافت گیاه تبدیل به فرمالدئید شده و این ترکیب در نهایت به دی‌اکسید کربن اکسید می‌شود. دی‌اکسید کربن تولیدشده باعث افزایش غلظت دی‌اکسید کربن درون برگ شده که این فرایند منجر به افزایش کارایی فتوستتری شده (Khosravi, 2011; Mirseyyed Hosseini et al., 2018) و احتمالاً منجر به تولید بیشتر محصول در گیاه می‌شود (Heins, 1980). محلول‌پاشی برگی الکل‌ها به عنوان یک بازدارنده تنفس نوری عمل کرده و با کاهش تنفس نوری موجب می‌شود تا فتوستتر در گیاه افزایش یافته و در نتیجه پیری برگ به تأخیر افتاد و به دنبال آن افزایش در ویژگی‌های رشدی گیاه مشاهده شود (Roger et al., 2008). گیاهان تیمارشده با هیدروالکل‌ها می‌توانند فتوستتر خالص خود و متعاقب آن کارایی تبدیل کربن در گیاه را بهبود بخشنند (Benson et al., 1994).

درونی منجر به افزایش کارایی فتوستتری می‌شود. بررسی‌های انجام‌شده روی گیاه لوپیا قرمز نشان داد که دو برابر شدن غلظت دی‌اکسید کربن (از  $۳۵\text{ به } ۷۰\text{ میکرومول بر مول}$ )، به ترتیب باعث افزایش فتوستتر و عملکرد دانه به میزان  $۵۰$  و  $۲۴$  درصد می‌گردد، ولی با این حال بر اندازه دانه اثرگذار Sajedi Moghaddam et al. (Plew et al., 1991) نیست (2012) بیان کردن که محلول‌پاشی با الکل‌ها می‌تواند محتوای دی‌اکسید کربن را در گیاه افزایش داده و بدین طریق فعالیت کربوکسیلازی آنزیم رابیسکو را افزایش دهد. در نتیجه فعالیت فتوستتری گیاه بهبود یافته و رشد گیاه افزایش می‌یابد. برای بسیاری از گیاهان، افزایش فتوستتر واکنش بنیادی و اساسی و اوابسته به افزایش غلظت دی‌اکسید کربن است که تمام جنبه‌های دیگر مانند رشد و نمو گیاه را تحت تأثیر قرار می‌دهد. به‌طور کلی در گیاهان با افزایش غلظت دی‌اکسید کربن، شدت فتوستتر، میزان تولید ماده خشک، کارایی مصرف آب و جذب عناصر غذایی افزایش می‌یابد (Li et al., 2020).

جدول ۴. مقایسه میانگین اثر برهم کشش غلطات دی اکسید کربن و محلول پاشی اتانول بر صفات فیزیولوژیک و بیوشیمیای ریحان رقم کشکن لونه

|  | پیش از اکسیداز<br>گیاکول پر اکسیداز<br>پیش از اکسیداز<br>وزن تازه)                           | پلی اکسیداز<br>گیاکول پر اکسیداز<br>پیش از اکسیداز<br>وزن تازه)  | مقاومت روزنایی<br>(میلی گرم کوربستین)<br>(میلی گرم کوربستین)<br>بر گرم وزن تازه) | هایات روزنایی<br>(متوجه بر ثانیه)<br>(مول بر متوجه<br>بر مول)  | شدت تعرق<br>(مول بر متوجه<br>بر ثانیه) | شدت فوسفور<br>(مول بر متوجه<br>بر ثانیه) | اتانول | شدت فوسفور<br>(مول بر متوجه<br>بر ثانیه) | شدت فوسفور<br>(مول بر متوجه<br>بر ثانیه) | دی اکسید کربن<br>(میکرومول بر مول) |     |
|--|--|--|--|--|--|--|--------|--|--|------------------------------------|-----|
| Soluble protein<br>(mg g <sup>-1</sup> FW) | Glutathione peroxidase<br>(unit <sup>-1</sup> mg protein)<br>(unit <sup>-1</sup> mg protein) | Stomatal<br>resistance<br>(mol m <sup>-2</sup> s <sup>-1</sup> ) | Transpiration rate<br>(μmol m <sup>-2</sup> s <sup>-1</sup> )                    | Photosynthesis rate<br>(μmol m <sup>-2</sup> s <sup>-1</sup> ) | Ethanol<br>(%v/v)                      | Carbon dioxide<br>(ppm)                  |        |  |  |                                    |     |
| 0.0032 <sup>a,b,c</sup>                    | 0.02 <sup>b</sup>  | 0.0003317 <sup>c</sup>   | 108.70 <sup>f</sup>  | 6.06 <sup>g</sup>  | 0.58 <sup>e</sup>                      | 1.69 <sup>i</sup>                        | 0      | 0.52 <sup>ed</sup>                       | 2.94 <sup>gh</sup>                       | 10                                 | 380 |
| 0.0027 <sup>b,c</sup>                      | 0.02 <sup>b</sup>  | 0.0004159 <sup>c</sup>   | 112.66 <sup>ef</sup>   | 7.46 <sup>dg</sup>   | 1.54 <sup>ed</sup>                     | 4.82 <sup>cde</sup>                      | 20     |  |  |                                    |     |
| 0.0013 <sup>a,e</sup>                      | 0.05 <sup>ab</sup>   | 0.0004294 <sup>c</sup>   | 110.13 <sup>f</sup>  | 7.56 <sup>eg</sup>   |  |  |        |  |  |                                    |     |
| 0.0016 <sup>d</sup>                        | 0.06 <sup>ab</sup>   | 0.0004334 <sup>c</sup>   | 111.46 <sup>f</sup>  | 7.76 <sup>bf</sup>   | 1.9 <sup>cd</sup>                      | 4.98 <sup>cde</sup>                      | 30     |  |  |                                    |     |
| 0.0017 <sup>d</sup>                        | 0.09 <sup>ab</sup>   | 0.0003804 <sup>c</sup>   | 127.41 <sup>de</sup>   | 8.66 <sup>bc</sup>   | 2.25 <sup>c</sup>                      | 5.70 <sup>bc</sup>                       | 0      |  |  |                                    |     |
| 0.0031 <sup>a,b,c</sup>                    | 0.10 <sup>ab</sup>   | 0.0003932 <sup>c</sup>   | 139.16 <sup>ed</sup>   | 9.10 <sup>bc</sup>   | 3.4 <sup>b</sup>                       | 6.38 <sup>ab</sup>                       | 10     |  |  |                                    |     |
| 0.0036 <sup>a</sup>                        | 0.16 <sup>ab</sup>   | 0.0004788 <sup>c</sup>   | 106.00 <sup>f</sup>  | 11.13 <sup>a</sup>   | 4.55 <sup>a</sup>                      | 6.68 <sup>a</sup>                        | 20     |  |  |                                    |     |
| 0.0029 <sup>a,b,c</sup>                    | 0.22 <sup>ab</sup>   | 0.0006638 <sup>c</sup>   | 135.20 <sup>ed</sup>   | 9.23 <sup>b</sup>  | 1.49 <sup>d</sup>                      | 2.82 <sup>h</sup>                        | 30     |  |  |                                    |     |
| 0.0030 <sup>a,b,c</sup>                    | 0.10 <sup>ab</sup>   | 0.0007127 <sup>bc</sup>  | 141.30 <sup>ed</sup>   | 9.02 <sup>bcd</sup>  | 3.99 <sup>ab</sup>                     | 4.43 <sup>de</sup>                       | 0      |  |  |                                    |     |
| 0.00084 <sup>e</sup>                       | 0.13 <sup>ab</sup>   | 0.0007590 <sup>bc</sup>  | 146.06 <sup>bc</sup>   | 7.20 <sup>eg</sup>   | 3.50 <sup>b</sup>                      | 4.22 <sup>ef</sup>                       | 10     |  |  |                                    |     |
| 0.0025 <sup>c</sup>                        | 0.22 <sup>ab</sup>   | 0.0010078 <sup>ab</sup>  | 160.13 <sup>ab</sup>   | 6.58 <sup>fg</sup>   | 3.25 <sup>b</sup>                      | 3.52 <sup>fg</sup>                       | 20     |  |  |                                    |     |
| 0.0035 <sup>a,b</sup>                      | 0.36 <sup>a</sup>  | 0.014216 <sup>a</sup>  | 175.46 <sup>a</sup>  | 6.23 <sup>fg</sup>   | 1.84 <sup>ed</sup>                     | 2.50 <sup>hi</sup>                       | 30     |  |  |                                    |     |

در هر سطر، اعداد دارای جداگانه حرف مشابه تفاوت معنی داری در سطح احتمال ۵ درصد بر اساس آزمون بونفرونی ندارند.

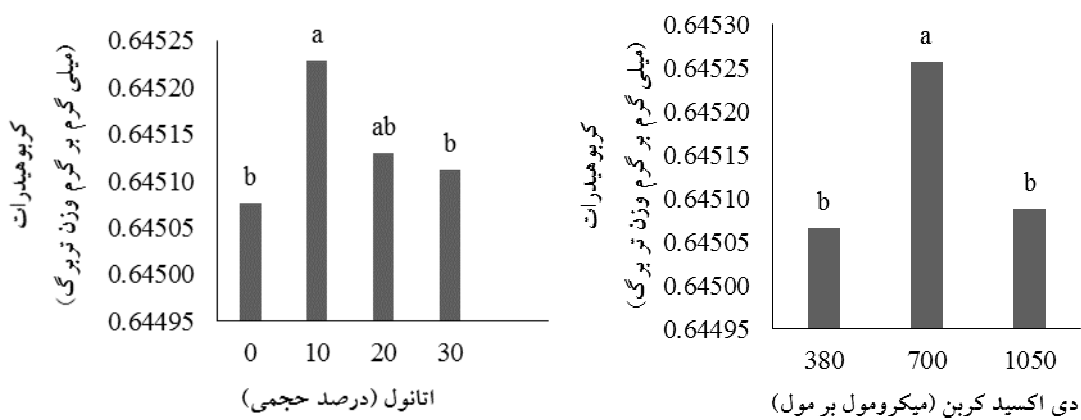
In each column, the numbers with at least one similar letter are not significantly different based on the Bonferroni test at the 5% probability level.

ترکیب اتانول و متابول منجر به افزایش زیست‌توده و در نتیجه عملکرد گیاه سرخارگل (*Echinacea purpurea* L.) گردید (Khosravi, 2011) که با نتایج پژوهش حاضر هم راست است. دی‌اکسید کربن منبع اصلی کربن در گیاه محسوب شده و به‌طور عمده در سنتز متابولیت‌های اولیه در طی عمل فتوستز مصرف می‌شود؛ بنابراین افزایش میزان آن می‌تواند رشد گیاه را بهبود بخشد (Merati et al., 2015). یکی دیگر از علل احتمالی آن را می‌توان این‌گونه بیان کرد که گیاهان با سطح مطلوب دی‌اکسید کربن به علت کارایی بیش‌تر مصرف آب و نیتروژن، شرایط رشدی بهتری را خواهند داشت (Xu et al., 2015).

### کربوهیدرات‌های محلول

با توجه به نتایج تجزیه واریانس، اثر برهم‌کنش تیمارها بر کربوهیدرات‌های محلول برگ ریحان معنی‌دار نشد، ولی آثار ساده آن‌ها بر این صفت در سطح احتمال ۱ درصد معنی‌دار شد (جدول ۱). مقایسه میانگین آثار ساده نشان داد که بیش‌ترین مقدار کربوهیدرات محلول در غلظت ۷۰۰ میکرومول بر مول دی‌اکسید کربن و همچنین در محلول‌پاشی اتانول ۱۰ درصد حجمی به دست آمد (شکل ۱). کربوهیدرات‌های محلول از جمله گلوکز، فروکتوز و ساکارز و همچنین نشاسته در شرایط تنش در گیاه تجمع می‌یابند و به عنوان محافظت‌کننده اسمزی عمل کرده و از طریق تنظیم اسمزی، آماس گیاه را حفظ نموده و موجب پایداری غشاء و پروتئین‌ها می‌شوند (Jahantigh et al., 2015). کربوهیدرات‌های محلول یکی از ترکیباتی هستند که می‌توانند در مقادیر زیاد بدون صدمه به فعالیت‌های بیوشیمیایی تجمع یافته و باعث حفظ یکپارچگی غشاء و افزایش مقاومت به تنش شوند (Sanchez et al., 1998). شاید بتوان این‌گونه بیان کرد که دو تیمار بررسی‌شده در پژوهش حاضر تاثیر مهارکننده‌گی برای تولید کربوهیدرات را داشته است. غلظت زیاد دی‌اکسید کربن (۱۰۵۰ میکرومول بر مول) و همچنین محلول‌پاشی در غلظت‌های زیاد اتانول (۲۰ و ۳۰ درصد حجمی) موجب تولید و افزایش غلظت دی‌اکسید کربن

به کاربرد دی‌اکسید کربن در غلظت‌های ۷۰۰ میکرومول بر مول و محلول‌پاشی اتانول ۳۰ درصد حجمی بود که با تیمارهای غلظت ۷۰۰ میکرومول بر مول دی‌اکسید کربن و محلول‌پاشی اتانول ۱۰ و ۲۰ درصد حجمی تفاوت آماری نداشت. بیش‌ترین زیست‌توده خشک شاخصاره (۹/۳۳ گرم در بوته)، مربوط به کاربرد دی‌اکسید کربن در غلظت ۷۰۰ میکرومول بر مول و محلول‌پاشی اتانول ۲۰ درصد حجمی بود که به لحاظ آماری با تیمار بدون محلول‌پاشی اتانول و محلول‌پاشی اتانول ۱۰ و ۲۰ درصد حجمی در همین غلظت دی‌اکسید کربن و همچنین با غلظت ۳۸۰ میکرومول بر مول دی‌اکسید کربن و محلول‌پاشی اتانول ۳۰ درصد حجمی در غلظت ۱۰۵۰ میکرومول بر مول دی‌اکسید کربن و محلول‌پاشی اتانول ۲۰ و ۳۰ درصد حجمی تفاوت معنی‌داری نداشت. غلظت‌های زیاد دی‌اکسید کربن در محیط و همچنین محلول‌پاشی اتانول که به فرمالدئید تبدیل شده و در نهایت به دی‌اکسید کربن اکسید می‌شود، باعث تجمع دی‌اکسید کربن در درون بافت گیاهی می‌شود. بنابراین اشباع‌شدن شیره سلولی از دی‌اکسید کربن و عدم مصرف آن باعث اسیدی‌شدن شیره سلولی (تولید اسید کربنیک) شده که در ادامه موجب تبدیل قندهای محلول به نامحلول می‌شود. این فرایند منجر به پلاسمولیز سلول‌های روزنه و بسته‌شدن روزنه‌ها شده و در نهایت سبب کاهش فتوستز و زیست‌توده خشک گیاهی می‌گردد. بنابراین در تیمار ۱۰۵۰ میکرومول بر مول دی‌اکسید کربن همراه با محلول‌پاشی اتانول به دلیل اشباع دی‌اکسید کربن شدت فتوستز کاهش یافته و زیست‌توده خشک نیز کاهش می‌یابد. اما کاربرد تنها ۱۰۵۰ میکرومول بر مول دی‌اکسید کربن در شرایط عدم محلول‌پاشی اتانول، به دلیل مصرف این مقدار دی‌اکسید کربن در فتوستز و عدم اشباع دی‌اکسید کربن موجب افزایش فتوستز شد. Delusia et al. (1985) در پژوهشی که روی چند گیاه انجام دادند، به این نتیجه رسیدند هنگامی که غلظت دی‌اکسید کربن به ۱۰۰۰ میکرومول بر مول رسید، توان فتوستزی کاهش معنی‌داری یافت که با نتایج این پژوهش هم خوانی دارد. همچنین در پژوهش دیگری محلول‌پاشی



شکل ۱. مقایسه میانگین اثر دی‌اکسید کربن و محلول‌پاشی اتانول بر میزان کربوهیدرات محلول ریحان رقم کشکنی لولو؛ مقایسه میانگین بر اساس آزمون بونفرونی در سطح احتمال ۵ درصد انجام شد.

**Fig. 1.** Mean comparison of the effect of carbon dioxide and ethanol spraying on the amount of soluble carbohydrates in basil cultivar of Keshkeni luvelou; The mean comparison was done based on the Bonferroni test at a probability level of 5%

اتاک زیر روزنه ایجاد می‌شود که دلالت بر نقش عوامل روزنے‌ای در کاهش فتوستترز در شرایط تنفس دارد. نتایج شدت تعرق ریحان نشان داد که رابطه مستقیمی بین این صفت با شدت فتوستترز گیاه وجود دارد. افزایش غلظت دی‌اکسید کربن تحت آبیاری کامل باعث کاهش شدت تعرق پوشش گیاهی می‌گردد، درحالی‌که هنگامی که گیاه تحت تنفس آبی باشد با افزایش غلظت دی‌اکسید کربن شدت تعرق تغییر معنی‌داری نداشته و یا در برخی موارد، کمی افزایش خواهد یافت (Burkart, 2004).

#### هدایت روزنها

نتایج تجزیه واریانس داده‌ها نشان داد که اثر برهم‌کنش دی‌اکسید کربن و محلول‌پاشی اتانول در سطح احتمال یک درصد بر شدت تعرق برگ ریحان معنی‌دار شد (جدول ۳). نتایج مقایسه میانگین داده‌ها نشان داد که بیشترین شدت تعرق میزان هدایت روزنها (۱۱/۱۳ مول بر مترمربع بر ثانیه) در تیمار ۷۰۰ میکرومول بر مول دی‌اکسید کربن و محلول‌پاشی اتانول ۲۰ درصد حجمی مشاهده شد (جدول ۴). کمترین میزان هدایت روزنها (۶/۰۶ مول بر مترمربع بر ثانیه) در تیمار شاهد ۳۸۰ میکرومول بر مول دی‌اکسید کربن و عدم محلول‌پاشی

در شیره سلولی می‌گردد. به نظر می‌رسد به دلیل عدم مصرف در فرآیند فتوستترز، دی‌اکسید کربن در سلول تجمع یافته که خود باعث اسیدی‌شدن شیره سلولی می‌شود. در چنین شرایطی قندهای محلول به نشاسته که کربوهیدرات نامحلول است تبدیل می‌شوند. شاید دلیل کاهش قندهای محلول در غلظت‌های زیاد تیمارها به دلیل تبدیل کربوهیدرات‌های محلول به نامحلول باشد.

#### شدت تعرق

بررسی نتایج تجزیه واریانس داده‌ها نشان داد که اثر برهم‌کنش دی‌اکسید کربن و محلول‌پاشی اتانول در سطح احتمال یک درصد بر شدت تعرق برگ ریحان معنی‌دار شد (جدول ۳). نتایج مقایسه میانگین داده‌ها نشان داد که بیشترین شدت تعرق ۴/۵۵ میلی‌مول بر مترمربع بر ثانیه) در تیمار ۷۰۰ میکرومول بر مول دی‌اکسید کربن و محلول‌پاشی اتانول ۲۰ درصد حجمی مشاهده شد. کمترین شدت تعرق (۰/۵۸ میلی‌مول بر مترمربع بر ثانیه) در تیمار شاهد (۳۸۰ میکرومول بر مول دی‌اکسید کربن Monajem et al. (2011) گزارش کردند که در نتیجه تنفس تغییرات موازی در شدت فتوستترز، شدت تعرق و غلظت دی‌اکسید کربن در

است که برای سازگاری‌های گیاه به محیط‌های تحت تنفس زا دارای نقش‌های متفاوتی است. افزایش آبسزیک اسید در بافت برگ گیاه باعث بسته‌شدن روزنه‌ها و کاهش خروج آب از گیاه می‌شود. تنش‌هایی مانند سرما، شوری، گرما و تنش‌های مکانیکی نیز سبب افزایش سنتز آبسزیک اسید در گیاه می‌شود. بنابراین افزایش سنتز آبسزیک اسید در گیاه را می‌توان به دلیل افزایش مقاومت روزنه‌ای دانست (Kafi et al., 2015). در نتیجه در پژوهش حاضر محلول‌پاشی و تزریق دی‌اکسید کربن در سطوح بالا به نوعی تنش بوده و در نتیجه افزایش مقاومت روزنه‌ای در این سطوح مشاهده شد.

### مالون دی‌آلدئید

در جدول تجزیه واریانس، برهم‌کنش تیمارها بر میزان مالون دی‌آلدئید برگ ریحان معنی‌دار نشد، ولی اثر ساده محلول‌پاشی اتانول در سطح احتمال یک درصد بر میزان مقاومت روزنه‌ای برگ ریحان معنی‌دار شد (جدول ۳). مقایسه میانگین اثر ساده اتانول نشان داد که اتانول ۳۰ درصد حجمی بیشترین تأثیر را بر میزان مالون دی‌آلدئید برگ ریحان داشت که تفاوت معنی‌داری با سطوح ۲۰ و ۱۰ درصد حجمی آن نداشت (شکل ۲). به نظر می‌رسد اتانول ایجاد تنش در گیاه نموده و افزایش مالون دی‌آلدئید در این حالت به خاطر ایجاد تنش است. رادیکال سوپراکسید تولیدی در حین تنش از طریق پراکسیداسیون لیپیدهای موجود در غشاء میزان مالون دی‌آلدئید در گیاه را نیز افزایش می‌دهند که این یافته مشابه نتایج (Farsaraei 2020) است. بنابراین می‌توان عنوان کرد که در پژوهش حاضر محلول‌پاشی اتانول موجب تنش در گیاه شد.

### آنزیم پلی‌فنل اکسیداز

بررسی نتایج تجزیه واریانس داده‌ها نشان داد که اثر برهم‌کنش دی‌اکسید کربن و محلول‌پاشی اتانول در سطح احتمال یک درصد بر فعالیت آنزیم پلی‌فنل اکسیداز معنی‌دار شد (جدول ۳). نتایج مقایسه میانگین داده‌ها نشان داد که بیشترین فعالیت آنزیم پلی‌فنل اکسیداز (۱۴٪) واحد بین‌المللی بر میلی‌گرم

اتanol) دیده شد که تفاوت معنی‌داری با برخی از تیمارها نداشت (جدول ۴). از آثار اصلی گاز دی‌اکسید کربن بر گیاهان می‌توان به افزایش فتوستتز و هدایت روزنه‌ای و تعرق و بهبود کارایی مصرف آب و نور اشاره کرد (Li et al., 2020). متابولیسم متانول، اتانول و تبدیل آن‌ها به قندها در برگ‌های گیاهان تیمارشده با آن‌ها می‌تواند پتانسیل اسمنزی برگ‌ها را تغییر داده و باعث افزایش فشار آماس و افزایش هدایت روزنه‌ای آن‌ها شود که این امر باعث افزایش سرعت آسیمیلاسیون و همچنین افزایش رشد گیاهان خواهد شد (Manchanda et al., 2008).

### مقاومت روزنه‌ای

بررسی نتایج تجزیه واریانس داده‌ها نشان داد که اثر برهم‌کنش دی‌اکسید کربن و محلول‌پاشی اتانول در سطح احتمال یک درصد بر میزان مقاومت روزنه‌ای برگ ریحان معنی‌دار شد (جدول ۳). نتایج مقایسه میانگین داده‌ها نشان داد که بیشترین میزان مقاومت روزنه‌ای (۱۷۵/۴۶ مترمربع بر ثانیه بر مول) در تیمار ۱۰۵۰ میکرومول بر مول دی‌اکسید کربن و محلول‌پاشی اتانول ۳۰ درصد حجمی مشاهده شد. کمترین مقاومت روزنه‌ای (۱۰۶/۷۰ مترمربع بر ثانیه بر مول) در تیمار ۷۰۰ میکرومول بر مول دی‌اکسید کربن و محلول‌پاشی اتانول ۲۰ درصد حجمی مشاهده شد که تفاوت معنی‌داری با تیمار ۳۸۰ میکرومول بر مول دی‌اکسید کربن و عدم محلول‌پاشی اتانول و محلول‌پاشی اتانول ۱۰، ۲۰ و ۳۰ درصد حجمی نداشت (جدول ۴). این بدین معنی است که در شرایط تنش، مقاومت روزنه‌ای افزایش پیدا می‌کند که با نتایج پژوهشگران دیگر هم خوانی دارد (Jones et al., 1984). افزایش غلظت دی‌اکسید کربن بسته‌شدن جزئی روزنه‌ها می‌شود. این کاهش هدایت روزنه‌ای باعث کاهش تعرق در واحد سطح برگ می‌شود. کاهش در سرعت از دست دادن آب برگ می‌تواند به دلیل کاهش تعرق و کاهش نیاز به آب در شرایط افزایش غلظت دی‌اکسید کربن باشد (Casella et al., 2006).

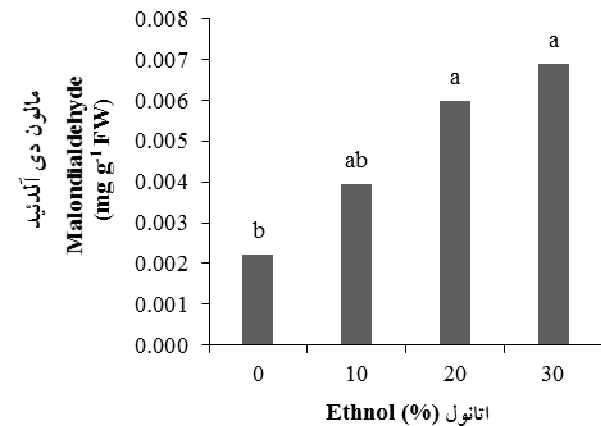
محلول‌پاشی اتانول ۳۰ درصد حجمی تنش به گیاه ریحان وارد شده است.

### گایاکول پراکسیداز

بررسی نتایج تجزیه واریانس داده‌ها نشان داد که آثار تیمارها در سطح احتمال یک درصد بر فعالیت آنزیم گایاکول پراکسیداز معنی‌دار شد (جدول ۳). نتایج مقایسه میانگین داده‌ها نشان داد که بیشترین فعالیت آنزیم گایاکول پراکسیداز (۰/۳۶ واحد بین‌المللی بر میلی‌گرم پروتئین) در تیمار ۱۰۵۰ میکرومول بر مول دی‌اکسید کربن و محلول‌پاشی ۳۰ درصد حجمی اتانول مشاهده شد که به لحاظ آماری تفاوت معنی‌داری با برخی از سطوح نداشت کمترین فعالیت این آنزیم (۰/۰۲۰ واحد بین‌المللی بر میلی‌گرم پروتئین) نیز در تیمار شاهد (۳۸۰ میکرومول بر مول دی‌اکسید کربن و عدم محلول‌پاشی اتانول) دیده شد که تفاوت معنی‌داری با دیگر سطوح تیمارها نداشت (جدول ۴). Salarpour et al. (2015) گزارش کردند که در گیاه رازیانه تنش حاصل از کم‌آبیاری سبب افزایش معنی‌داری در فعالیت آنزیم گایاکول پراکسیداز و آنزیم‌های دیگر نسبت به تیمار شاهد شد. آنچه نتایج پژوهش حاضر نشان داد این است که در اثر محلول‌پاشی اتانول و تغذیه دی‌اکسید کربن در غلظت‌های زیاد، به گیاه ریحان تنش وارد شد که در نتیجه آن فعالیت آنزیم‌های آنتی‌اکسیدانتی افزایش یافته است.

### پروتئین محلول

بررسی نتایج تجزیه واریانس داده‌ها نشان داد که اثر برهم‌کنش دی‌اکسید کربن و محلول‌پاشی اتانول در سطح احتمال یک درصد بر میزان پروتئین محلول برگ ریحان معنی‌دار شد (جدول ۳). نتایج مقایسه میانگین داده‌ها نشان داد که بیشترین مقدار پروتئین محلول (۰/۰۰۳۶ میلی‌گرم بر گرم وزن تازه برگ) در تیمار ۷۰۰ میکرومول بر مول دی‌اکسید کربن و محلول‌پاشی اتانول ۲۰ درصد حجمی مشاهده شد که به لحاظ آماری با سطوح دیگر اختلاف معنی‌داری نداشت. کمترین



شکل ۲. اثر محلول‌پاشی اتانول بر میزان مالون دی‌آلدئید ریحان رقم کشکنی لولو؛ مقایسه میانگین بر اساس آزمون بونفرونی در سطح احتمال ۵ درصد انجام شد.

**Fig. 2.** The simple effect of ethanol spraying on the amount of malondialdehyde in basil cultivar of Keshkeni luvelou; The mean comparison was done based on the Bonferroni test at a probability level of 5%.

پروتئین) در تیمار ۱۰۵۰ میکرومول بر مول دی‌اکسید کربن و محلول‌پاشی اتانول ۳۰ درصد حجمی مشاهده شد که با تیمار محلول‌پاشی اتانول ۲۰ درصد حجمی در همین غلظت دی‌اکسید کربن تفاوت معنی‌داری نداشت. کمترین فعالیت آنزیم پلی‌فنل اکسیداز (۰/۰۰۰۳۳) واحد بین‌المللی بر میلی‌گرم پروتئین) در تیمار شاهد (۳۸۰ میکرومول بر مول دی‌اکسید کربن و عدم محلول‌پاشی اتانول) مشاهده شد (جدول ۴). در گیاه پونه معطر بهمنظور افزایش مقاومت گیاه به تنش شوری، فعالیت آنزیم‌های آنتی‌اکسیدانتی (سوپراکسید دیسموتاز، پلی‌فنل اکسیداز، کاتالاز و آسکوربات پراکسیداز) افزایش یافت (Manderscheid and Weigel, 2007) پژوهش حاضر هم‌خوانی دارد. میزان فعالیت آنزیم آسکوربات پراکسیداز و اغلب آنزیم‌های آنتی‌اکسیدانتی دیگر رابطه مستقیمی با طول زمان تنش دارد و نشان‌دهنده آن است که با افزایش دوره تنش، فعالیت این آنزیم‌ها نیز تقویت می‌شود (Farsaraei, 2020). این‌طور به‌نظر می‌رسد که در پژوهش حاضر غلظت زیاد دی‌اکسید کربن (۱۰۵۰ میکرومول بر مول) و

کربن و محلولپاشی اتانول باعث آثار متفاوتی بر زیستتوده تازه و خشک شاخصاره، و ویژگی‌های فیزیولوژیک و بیوشیمیایی گیاه ریحان شد. نتایج ارزیابی تأثیر سطوح مختلف دی‌اکسید کربن و محلولپاشی اتانول بر صفات فیزیولوژیک و بیوشیمیایی شامل محتوای نسبی آب برگ، نشت الکترولیت، کربوهیدرات محلول، فلاونوئید، پروتئین محلول، شدت فتوستز، هدایت روزنها و شدت تعرق ریحان نشان داد که بیشترین تأثیر معنی‌داری در بیش‌تر این صفات در تیمار ۷۰۰ میکرومول بر مول دی‌اکسید کربن و محلولپاشی اتانول ۲۰ درصد حجمی دیده شد. بیشترین زیستتوده تازه و خشک شاخصاره در تیمار ۷۰۰ میکرومول بر مول دی‌اکسید کربن و محلولپاشی اتانول ۳۰ درصد حجمی به‌دست آمد. همچنین بیشترین فعالیت آنزیم‌های پلی‌فنل اکسیداز و گایاکول پر اکسیداز و مقاومت روزنها و نشت الکترولیت در سطوح بالای تیمارها (یعنی غلظت ۱۰۵۰ میکرومول بر مول دی‌اکسید کربن و محلولپاشی اتانول ۳۰ درصد حجمی) مشاهده شد. همچنین بهترین تیمارها از نظر افزایش شدت فتوستز و بیشترین زیستتوده تازه و خشک شاخصاره، محلولپاشی ۲۰ درصد حجمی اتانول همراه با کاربرد ۷۰۰ میکرومول بر مول دی‌اکسید کربن بودند. بنابراین نتایج این پژوهش نشان داد که بهترین تیمار برای افزایش صفات رشدی در این پژوهش تیمار ۷۰۰ میکرومول بر مول دی‌اکسید کربن و محلولپاشی اتانول ۳۰ درصد حجمی است.

### تشکر و سپاسگزاری

نویسنده‌گان از دانشگاه فردوسی مشهد برای حمایت مالی از این طرح پژوهشی تشکر و قدردانی می‌نمایند.

### تضاد منافع

نویسنده‌گان مقاله اذعان دارند هیچگونه تضاد منافعی با شخص، شرکت یا سازمانی برای این پژوهش ندارند.

مقدار پروتئین محلول (۸۴۰۰ میلی‌گرم بر گرم وزن تازه برگ) در تیمار ۱۰۵۰ میکرومول بر مول دی‌اکسید کربن و محلولپاشی اتانول ۱۰ درصد حجمی مشاهده شد (جدول ۴). در آزمایشی که بر روی نیشکر (گیاهی با مسیر فتوستزی چهارکربنه) انجام شد مشاهده گردید در گیاهانی که در غلاظت دو برابر دی‌اکسید کربن معمولی هوا رشد می‌کنند، اثر مثبتی در فراحل نموی ایجاد می‌شود، از جمله اینکه کلروفیل کل و پروتئین محلول به ترتیب ۳۱ و ۱۵ درصد افزایش می‌یابد (Wu et al., 2004). افزایش غلاظت دی‌اکسید کربن و اتانول (در بالاترین سطوح آنها) موجب ایجاد تنفس و باعث کاهش پروتئین محلول و افزایش فعالیت آنزیم‌های پلی‌فنل اکسیداز و گایاکول پر اکسیداز در گیاه ریحان شد. تنفس‌های غیرزنده از جمله تنفس شوری سبب می‌شود تا از سنتز برخی از پروتئین‌ها جلوگیری شود. در مقابل سنتز برخی دیگر از آن‌ها افزایش می‌یابد (می‌توان به آنزیم‌های پروتئینی اشاره کرد)، ولی در مجموع میزان کل پروتئین محلول در گیاه کاهش می‌یابد. به‌منظور تولید اسیدهای آمینه برای تنظیم اسمزی سلول، پروتئین‌های موجود در گیاه به‌وسیله آنزیم پروتئاز هیدرولیز شده و همین امر سبب کاهش پروتئین محلول در گیاهانی که در شرایط تنفس قرار گرفته‌اند می‌شود (Farsaraei, 2020). نتایج پژوهش حاضر در مورد اثر سطوح بالای تیمارها این موضوع را تایید می‌کند.

### نتیجه‌گیری کلی

امروزه بهبود عملکرد گیاهان از طریق افزایش فتوستز با تزریق دی‌اکسید کربن و استفاده از محلولپاشی اتانول می‌تواند به عنوان راهکاری مناسب مورد توجه قرار گیرد. در مورد تأثیر دی‌اکسید کربن همراه با محلولپاشی اتانول بر عملکرد ریحان پژوهش‌های زیادی انجام نگرفته است. در این پژوهش، اثر محلولپاشی اتانول و دی‌اکسید کربن بر زیستتوده تازه و خشک شاخصاره و برخی صفات فیزیولوژیک و بیوشیمیایی ریحان در شرایط کنترل شده در گلخانه مورد ارزیابی قرار گرفت. نتایج دلالت بر آن دارد که اثر سطوح مختلف دی‌اکسید

## منابع مورد استفاده

1. Abbaszadeh, B., Sharifi Ashourabadi, E., Lebaschi, M.H., Naderi Hajibagher Kandy, M., Moghadami, F., 2008. The effect of drought stress on proline contents, soluble sugars, chlorophyll and relative water contents of balm (*Melissa officinalis* L.). IJMAPR. 23(4), 504–513. <https://doi.org/10.22092/ijmapr.2008.10090>
2. Asgari, A.A., Moinfarad, A., 2014. The effect of foliar application of foliar alcohols as a new method in agriculture. In: The First National Congress of Biology and Natural Sciences of Iran, November 22<sup>th</sup>, Tehran.
3. Benson, A.A., Nonomura, A.M., 1994. The path of carbon in photosynthesis: methanol inhibition of glycolic acid accumulation. Res. J. Phytochem. 89(20), 9794–8. <https://doi.org/10.1073/pnas.89.20.9794>
4. Bradford, M.M., 1976. A rapid and sensitive method for the quantitation of microgram quantities of protein utilizing the principle of protein-dye binding. Anal. Biochem. 72(1-2), 248–254. <https://doi.org/10.1006/abio.1976.9999>
5. Burkart, S., Manderscheid, R., Weigel, H.J., 2004. Interactive effects of elevated atmospheric CO<sub>2</sub> concentrations and plant available soil water content on canopy evapotranspiration and conductance of spring wheat. Eur. J. Agron. 21, 401–17. <https://doi.org/10.1016/j.eja.2004.07.003>
6. Casella, E., Soussana, J.F., Loiseau, P., 1996. Long-term effects of CO<sub>2</sub> enrichment and temperature increase on a temperate grass sward. Plant Soil 182, 83–99. <https://doi.org/10.1007/BF00010998>
7. Chaum, S., Takabe, T., Kirdmanee, C., 2010. Ion contents, relative electrolyte leakage, proline accumulation, photosyntheticabilities and growth carachters of oil palm seedlings in response to salt stress. Pak. J. Bot. 42(3), 2020–2191. <https://doi.org/10.3390/plants10102044>
8. Delucia, E. H., Sasek, T. W., & Strain, B. R., 1985. Photosynthetic inhibition after long-term exposure to elevated levels of atmospheric carbon dioxide. Photosynth. Res. 7, 175–184. [https://doi.org/10.1016/0168-1923\(88\)90078-0](https://doi.org/10.1016/0168-1923(88)90078-0)
9. Davey, M.W., Stals, E., Panis, B., Keulemans, J., Swennen, R.L., 2005. High-throughput determination of malondialdehyde in plant tissues. Anal. Biochem. 347(2), 201–207. <http://doi.org/10.3844/ajbbsp.2013.235.242>
10. Farsarai, S., 2020. Comparison of The Effect of Three Types of Superabsorbent Polymers on Morphophysiological and Biochemical Properties and The Amount of Basil Essential Oil (Leko cultivar) under Salinity Stress. MSc Thesis, Department of Horticulture, Faculty of Agriculture, Ferdowsi University of Mashhad.
11. Gapinska, M., Skłodowska, M., Gabara, B., 2008. Effect of short-and long-term salinity on the activities of antioxidative enzymes and lipid peroxidation in tomato roots. Acta Physiol. Plant. 30(1), 11–18. <http://doi.org/10.1007/s11738-007-0072-z>
12. Heins, R., 1980. Inhibition of ethylene synthesis and senescence in carnation by ethanol. J. Am. Soc. Hortic. Sci. 105(1), 141–144. <http://doi.org/10.1104/pp.71.3.541>
13. Jahantigh, A., Najafi, F., Naqdi Badi, H.A., Khavarinezhad, R.A., Sanjarian, F., 2016. Study of some physiological characteristics of hyssop (*Hyssopus officinalis* L.) in the vegetative stage under the influence of salinity stress. IJPB 8(27), 94–81. <http://doi.org/10.22108/IJPB.2016.20695>
14. Jones, P., Allen. L.H. Jr., Jones. J.W., Boote, K.J., Campbell, W.J., 1984. Soybean canopy growth, photosynthesis and transpiration responses to whole season carbon dioxide enrichment. Agron. J. 76, 633–637. <https://doi.org/10.2480/agrmet.469>
15. Kafi, M., Ganjali, A. And Abbasi, F., 2007. Evaluation of changes in abscisic acid (ABA) leaf tissue and stomatal resistance in drought tolerant and susceptible genotypes of chickpea (*Cicer arietinum* L.). J. Sci. IR of Iran 26, 4–19. <https://doi.org/10.1093/jxb/erw153>
16. Kar, M., Mishra, D., 1976. Catalase, peroxidase and polyphenoloxidase activities during rice leaf senescence. Plant Physiol. 57(2), 315–319. <https://doi.org/10.1104/pp.57.2.315>
17. Khosravi, E., 2011. Effect of Methanol and Ethanol on Yield and Quality of *Melissa officinalis* L. MSc Thesis. Department of Horticulture, Faculty of Agriculture, Islamic Azad University of Karaj, Iran.
18. Khosravi, M. T., Mehrafarin, A., Naqdi Badi, H., A. Haji Aghaei, R. Khosravi, A., 2011. The effect of methanol and ethanol on the performance of *Echinacea purpura* in Karaj. J. Med. Plant. Res. 2(2), 128–121. <https://doi.org/10.3390/app13116477>
19. Kirnaak, H., Kaya, C., Tas, I., and Higgs, D., 2001. The influence of water deficit on vegetation growth. Physiology fruit yield and quality in eggplants. Bulg. J. Plant Physiol. 27, 34–46. <https://doi.org/10.55257/ethabd.1340314>
20. Lee, Y.H., Sang, W.G., Baek, J.K., Kim, J.H., Shin, P., Seo, M.C., Cho, J., 2020. The effect of concurrent elevation in CO<sub>2</sub> and temperature on the growth, photosynthesis, and yield of potato crops. PLoS One. 15(10), e0241081. <https://doi.org/10.1371/journal.pone.0241081>
21. Li, X., Dong, J., Nazim, S., Gruda, Chu, W., Duan, Z., 2020. Interactive effects of the CO<sub>2</sub> enrichment and nitrogen supply on the biomass accumulation, gas exchange properties, and mineral elements concentrations in cucumber plants at different growth stages. Agron. 10(139), 2–21. <https://doi.org/10.3390/agronomy10010139>
22. Lutts, S., Kinet, J.M. and Bouharmont, J., 1995. Changes in plant response to NaCl during development of rice (*Oryza sativa* L.) varieties differing in salinity resistance. J. Exp. Bot. 46(12), 1843–1852. <https://doi.org/10.1093/jxb/46.12.1843>

23. Mackerness, S.A.H., John, C.F., Jordan, B., Thomas, B. 2001. Early signaling components in ultraviolet-B responses: distinct role for different reactive oxygen species and nitric oxide. *FEBS Lett.* 489, 237–242.
24. Manderscheid, R., H.J. Weigel., 2007. Drought stress effects on wheat are mitigated by atmospheric CO<sub>2</sub> enrichment. *ASD* 27, 79–87. [https://doi.org/10.1016/S0014-5793\(01\)02103-2](https://doi.org/10.1016/S0014-5793(01)02103-2)
25. Manchanda, P., Xie, Y., Youn, N., 2008. The role of targeted communication and contagion in product adoption. *Mark. Sci.* 27(6), 961–976. <https://doi.org/10.1287/mksc.1070.0354>
26. Merati, M.J., Niknam, V., Hassanpour, H. Mir Masoumi, M., 2015. Comparison of the effect of salinity stress on growth and antioxidant responses of different organs of aromatic mint (*Mentha pulegium* L.). *J. Plant Res.* 28 (5), 1107–1097. <https://doi.org/10.1001.1.23832592.1394.28.5.17.0>
27. Mirseyyed Hosseini, H., Fathi Gardlidani, A., Mansour Kouhestani, M.R. Bihamta, M., 2018. The effect of carbon dioxide concentration and soil nitrogen availability on growth and physiological indices of wheat. *Iran. J. Soil Water Res.* 49 (4), 779–767. <https://doi.org/10.22059/IJSWR.2017.237231.667716>
28. Moghaddam, M., Alymanesh, M.R., Mehdizadeh, L., Mirzaei, H., Ghasemi Pirbalouti, A., 2014. Chemical composition and antibacterial activity of essential oil of *Ocimum ciliatum*, as a new source of methyl chavicol, against ten phytopathogens. *Ind. Crops. Prod.* 59, 144–148. <https://doi.org/10.1016/j.indcrop.2014.05.006>
29. Monajem, S., Ahmadi, A. Mohammadi, V., 2011. Effect of drought stress on photosynthesis, yield and grain yield of rapeseed cultivars. *Iran. J. Field Crops Res.* 13(3), 533–547. <https://doi.org/10.3390/w12082127>
30. Nourafcan, H., Kalantari, Z., and F. Sefidkon., 2018. The effect of methanol and ethanol foliar application on essential oil composition of peppermint. *J. Agroecol.* 14(2), 9–18. <https://doi.org/10.22067/JHS.2022.61778.0> (In Persian with English abstract)
31. Parsad, P.V.V., Boot, K.J., Allen, L.H., Thomas, J.M.G., 2002. Effect of elevated temperature and carbon dioxide on seed-set and yield of kidney bean (*Phaseolus vulgaris* L.). *Glob. Change Biol.* 8, 710–721. <https://doi.org/10.1046/j.1365-2486.2002.00508.x>
32. Plewa, M.J., Smith, S.R., Wagner, E.D., 1991. Diethyldithiocarbamate suppresses the plant activation of aromatic amines into mutagens by inhibiting tobacco cell peroxidase. *Mutat. Res-Fund. Mol. M.* 247(1), 57–64. [https://doi.org/10.1016/0027-5107\(91\)90033-k](https://doi.org/10.1016/0027-5107(91)90033-k)
33. Ramirez, I., Dorta, F., Espinozo, V., Jimenez, E., Mercad, A., Penacortes, H., 2006. Effects of foliar and root applications of methanol on the growth of arabidopsis, tobacco and tomato plants. *J. Plant Growth Regul.* 25(1), 30–44. <https://doi.org/10.1007/s00344-005-0027-9>
34. Roger, F., John Elger, H., Watking, B., Philipia, J., 2008. Physical and mechanical changes in strawberry fruit after high carbon dioxide treatments. *Postharvest Biol. Technol.* 19, 139–146. <https://doi.org/10.3389/fnut.2022.1058173>
35. Sadashivam, S., and Manickam, A., 1992. Biochemical Methods for Agricultural Sciences. Wiley Eastern Limited.
36. Sairam, R.K., Rao, K.V., Srivastava, G., 2002. Differential response of wheat genotypes to long term salinity stress in relation to oxidative stress, antioxidant activity and osmolyte concentration. *Plant Sci.* 163, 1037–1046. [https://doi.org/10.1016/S0168-9452\(02\)00278-9](https://doi.org/10.1016/S0168-9452(02)00278-9)
37. Sajedi Moghadam, S., Mehrafarin, A., Naqdibadi, H. A. Pazaki, A. R., Qavami, N., 2012. Evaluation of phytochemical performance of thyme plant under hydroalcohol spraying. *J. Med. Plant. Res.* 11(4), 139–130. [https://doi.org/10.1016/S2222-1808\(13\)60100-0](https://doi.org/10.1016/S2222-1808(13)60100-0)
38. Salarpur Gharba, F., Farahbakhsh, H., 2015. The effect of dehydration and salicylic acid on essential oils and antioxidant enzymes in fennel. *J. Crop Improv.* 17(3), 727–713. <https://doi.org/10.22108/IJPB.2022.133824.1288>
39. Sanchez, F.J., Manzanares, M., de Andres, E.F., Tenorio, J.L., Ayerbe, L., 1998. Turgor maintenance, osmotic adjustment and soluble sugar and proline accumulation in 49 pea cultivars in response to water stress. *Field Crops Res.* 59(3), 225–235. [https://doi.org/10.1016/S0378-4290\(98\)00125-7](https://doi.org/10.1016/S0378-4290(98)00125-7)
40. Song, H., W, Peiqi, Lu, X., Wang, B., Song, T., Lu, Q., Li, M., Xu., X., 2023. Comparative physiological and transcriptomic analyses reveal the mechanisms of CO<sub>2</sub> enrichment in promoting the growth and quality in *Lactuca sativa*. *PLoS One* 18 (2), 1–14. <https://doi.org/10.1371/journal.pone.0278159>
41. Vu, J.C.V., Aleen Jr, L.H., Gesch, R.W., 2006. Up-regulation of photosynthesis and sucrose metabolism enzymes in young expanding leaves of sugarcane under elevated grown CO<sub>2</sub>. *Plant Sci.* 171, 123–131. <https://doi.org/10.1016/j.plantsci.2006.03.003>
42. Wu, X., Beecher, G.R., Holden, J.M., Haytowitz, D.B., Gebhardt, SE., Prior, RI., 2004. Lipophilic and hydrophilic antioxidant capacities of common foods in the United States. *J. Agric. Food Inf.* 52(12), 4026–4037. <https://doi.org/10.1021/jf049696w>
43. Xu, Z., Jiang, Y., Zhou, G., 2015. Response and adaptation of photosynthesis, respiration, and antioxidant systems to elevated CO<sub>2</sub> with environmental stress in plants. *Front. Plant Sci.* 6, 701–715. <https://doi.org/10.3389/fpls.2015.00701>